

crystal para magnetico

- Energia interna e entropia dependem das vibrações da rede e dos dipolos magnéticos.

$$Z = Z_0 \times Z_M \rightarrow \text{função de partição magnética}$$

$$\rightarrow \text{função de partição da rede}$$

- Conjunto de N dipolos de spin $1/2$ independentes e localizados

$$\begin{cases} Z_M = Z_n^N \\ Z_n = \sum_{\text{estados}} e^{-\beta \epsilon_m} \end{cases} \quad \epsilon_m \begin{cases} \mu_B B & (m_s = -1/2) \\ -\mu_B B & (m_s = 1/2) \end{cases}$$

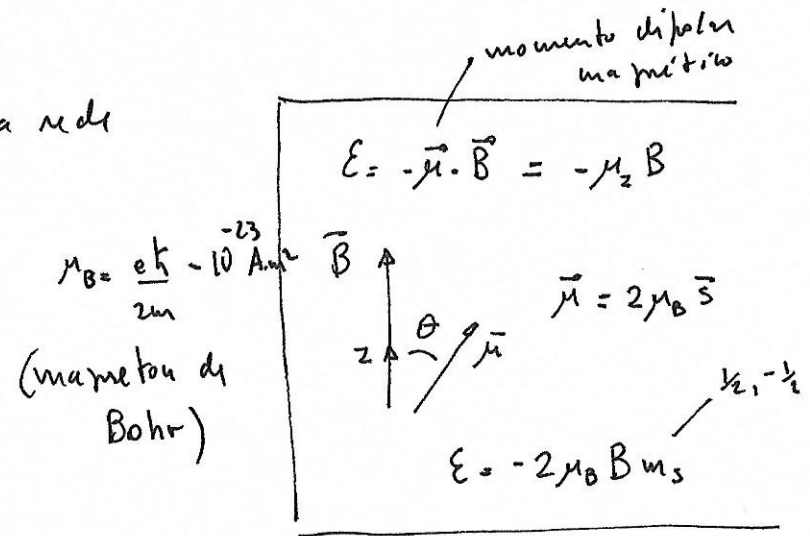
$$\Rightarrow Z_n = e^{-\beta \mu_B B} + e^{\beta \mu_B B} = 2 \cosh a \quad a = \frac{\mu_B B}{kT}$$

$$P(\mu_z = \mu_B) = \frac{e^a}{Z_n} \quad P(\mu_z = -\mu_B) = \frac{e^{-a}}{Z_n} \quad Z_n = e^a + e^{-a} = 2 \cosh a$$

$$M = N \langle \mu_z \rangle = N \mu_B \frac{(e^a - e^{-a})}{(e^a + e^{-a})} = \boxed{N \mu_B \tanh a}$$

baixas temperaturas : $\tanh a \rightarrow 1 \Rightarrow M = N \mu_B$
 ($T \ll T_c \Rightarrow a \rightarrow \infty$)

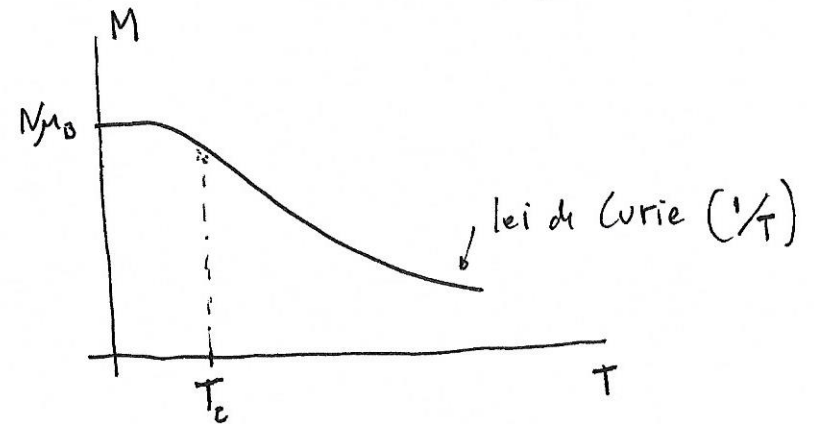
altas temperaturas : $\tanh a \rightarrow a \Rightarrow M = N \mu_B a = \underbrace{\left(\frac{N \mu_B^2}{kT} \right)}_X B$
 ($T \gg T_c \Rightarrow a \ll 1$)
 X (susceptibilidade)



$$a = \frac{T_c}{T} \quad T_c = \frac{\mu_B B}{k} \text{ (K)}$$

em geral, $a \ll 1$

$B = 10^4$



• Entropia : $Z_n(T, B)$

$$S = \left. \frac{\partial}{\partial T} (kT \ln Z) \right|_{B, V} = \underbrace{\left. \frac{\partial}{\partial T} (kT \ln Z_0) \right|_V}_{S_0 \text{ (entropia da rede)}} + \left. \frac{\partial}{\partial T} (kT \ln Z_M) \right|_B$$

$$S = S_0(T) + \underbrace{Nk \ln Z_M}_{\ln 2 \text{ sh } a} + \underbrace{NkT \frac{\partial \ln Z_M}{\partial T}}_{\left(\frac{\partial \ln Z_M}{\partial a} \right)_B \left(\frac{\partial a}{\partial T} \right)^{-\frac{a}{T}}}$$

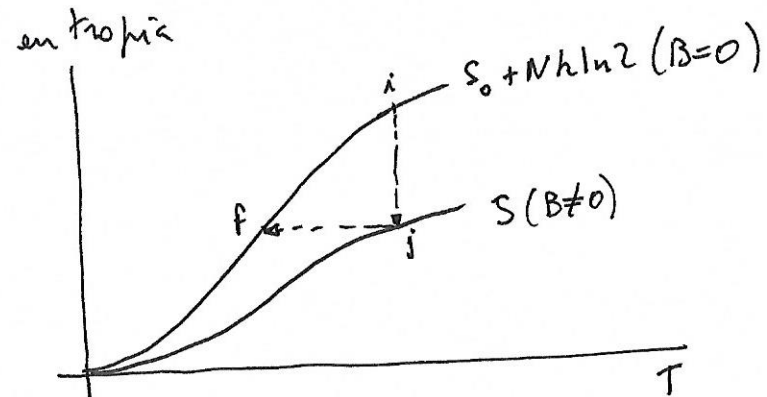
$$S = (S_0 + Nk \ln 2) + Nk \left[\ln(\text{sh } a) - a \tanh a \right]$$

$$S_0 + Nk \ln 2 \quad (T \gg T_c \Rightarrow a \rightarrow 0)$$

$$0 \quad (T \rightarrow 0 \Rightarrow a \rightarrow \infty)$$

• magnetização implica maior ordem
 $S < S_0 + Nk \ln 2$

⇓
refrigeração magnética



(i → j) magnetização isotérmica $\Rightarrow T ds < 0$ (perda de calor)

(j → f) desmagnetização isentrópica (adiabática)

$$T_f < T_i$$

Calor específico dos metais

- classe especial de sólidos cristalinos
- Além dos íons positivos que constituem a rede cristalina, e vibram em torno de suas posições de equilíbrio, possuem também o mesmo número de elétrons (condução) que se movem pela rede como constituintes de um gás.
- Essa hipótese remonta à época de Drude e Lorentz (1822), e se apoia no fato de que em um cristal metálico os íons positivos estabelecem campos eletromagnéticos que tendem a anular a ação dos outros elétrons sobre um determinado elétron.
- Apenas quando Sommerfeld (1928) considerou os elétrons de condução como um gás degenerado de férmions não-relativísticos de spin $1/2$, os resultados teóricos se tornaram compatíveis com os experimentos.
- O calor específico de um metal ^{em baixas temperaturas} possui uma componente devido às vibrações da rede, ou de um gás degenerado de fónons, e outra devido a um gás degenerado de elétrons.

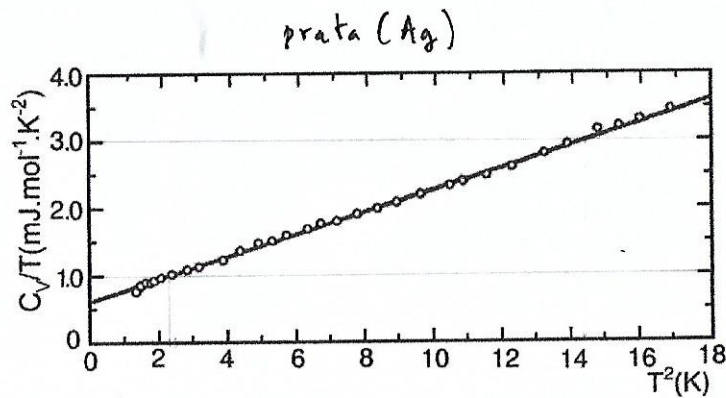
$$C_{\text{metal}} = C_{\text{fónons}} + C_{\text{elétrons}}$$

- Nessas condições (baixas temperaturas), o calor específico de um metal pode ser expresso como

$$C_{\text{metal}} = \alpha T^3 + \gamma T \quad (T \ll T_D) \quad \begin{cases} T_F \sim 10^5 \text{ K} \\ T_D \sim 10^2 - 10^3 \text{ K} \end{cases}$$

- Os parâmetros α e γ determinam as temperaturas de Debye e Fermi.
- Esse comportamento, observado desde 1935 por Keesom, foi estabelecido nos experimentos realizados em 1955 por Corak et al. (Phys. Rev. 98, 1699 (1955))

Estimativas a partir dos dados de Corak



$$\alpha \approx \frac{2,0 \times 10^{-3}}{1,2} \approx 1,67 \times 10^{-4} \text{ J.mol}^{-1} \text{ K}^{-4} \quad (\text{coeficiente angular})$$

$$= \frac{12}{5} \pi^4 \frac{R}{T_D^3} \Rightarrow T_D = \left(\frac{12 \times \pi^4 R}{5 \alpha} \right)^{1/3} \approx 226 \text{ K}$$

$$\gamma = 0,6 \times 10^{-3} \text{ J.mol}^{-1} \text{ K}^{-2}$$

$$= \frac{4,9 R}{T_F} \Rightarrow T_F \approx 6,8 \times 10^4 \text{ K}$$

$$\begin{cases} \gamma = (0,609 \pm 0,009) \text{ mJ.mol}^{-1} \text{ K}^{-2} \\ T_D = (225,0 \pm 0,5) \text{ K} \end{cases}$$

- A relação entre o fator γ e a temperatura de Fermi (T_F) decorre da relação entre a energia (E) e o momento (p).

$$E = \frac{p^2}{2m} \quad (\text{relação de dispersão}).$$

- Para gases ideais de elétrons, o nível de Fermi é igual ao raio (E_F) da superfície esférica, $E_F = \frac{p^2}{2m}$, no espaço dos momentos, e define o estado fundamental do gás.

- Para os elétrons de um metal, a relação de dispersão $\overset{E(p)}{\perp}$ exibe uma dependência mais complexa, que reflete o efeito dos outros elétrons e íons da rede sobre um determinado elétron.

- Apesar de ainda caracterizar o estado fundamental do sistema, a superfície de Fermi, $E(p) = E_F$, pode ter uma forma bem mais complicada.

- Para alguns metais (alcalinos), a relação de dispersão pode ser aproximada por

$$E = \frac{p^2}{2m_{ef}}$$

onde m_{ef} é a massa efetiva dos elétrons de condução

- Desse modo, a partir do fator γ , e da temperatura de Fermi, pode-se determinar a massa efetiva por

$$m_{ef} = \left(\frac{3}{8\pi}\right)^{2/3} \left(\frac{N}{V}\right)^{1/3} \frac{h^2}{2T_F}$$

Gases ideais moleculares

- gases monoatômicos (He, Ar)
- moléculas diatômicas (H_2, O_2, CO, HCl)
- moléculas poliatômicas (CO_2, C_4H_{10}, O)

$$\left\{ \begin{array}{l} \epsilon_{molec.} = \epsilon_{transl.} + \epsilon_{vib} + \epsilon_{rot} \quad (\text{translação, vibração, rotação}) \\ Z_{molec.} = Z_{transl.} \times Z_{vib.} \times Z_{rot.} \end{array} \right.$$

gases monoatômicos : $\epsilon_{molec.} = \epsilon_{transl.} = \frac{\pi^2 \hbar^2}{2mL^2} n^2 \quad (n=1, 2, \dots) \Rightarrow Z_{transl.} = (2\pi mkT)^{3/2} V$

$$Z_{transl.} = \frac{Z_{transl.}^N}{N!} \Rightarrow \ln Z_{transl.} = N \ln \left(\frac{Z_{transl.}}{N} \right) = N \ln \left[(2\pi mkT)^{3/2} \frac{V}{N} \right]$$

$$= N \left(\frac{3}{2} \ln T + \ln \frac{V}{N} + c_1 \right)$$

$$\left\{ \begin{array}{l} F_{transl.} = -kT \ln Z_{transl.} = -NkT \left(\frac{3}{2} \ln T + \ln \frac{V}{N} + c_1 \right) \end{array} \right.$$

$$P = - \left(\frac{\partial F}{\partial V} \right)_{T,N} = \frac{NkT}{V}$$

$$U_{transl.} = - \left(\frac{\partial \ln Z_{transl.}}{\partial \beta} \right) = \frac{3}{2} NkT$$

$$C_v^{transl.} = \frac{3}{2} Nk$$

clássico
 $\left(\epsilon_{transl.} = \frac{1}{2} m v_x^2 + \frac{1}{2} m v_y^2 + \frac{1}{2} m v_z^2 \right)$
 (3 termos quadráticos)

$$\left\{ \begin{array}{l} S_{transl.} = - \left(\frac{\partial F}{\partial T} \right)_{V,N} = Nk \left(\frac{3}{2} \ln T + \ln \frac{V}{N} + c_1 \right) \end{array} \right.$$

moléculas diatômicas

$$E_{\text{molec}} = E_{\text{transl.}} + \underbrace{n h \omega}_{E_{\text{vib}}} + \underbrace{l(l+1) \frac{h^2}{2I}}_{E_{\text{rot}}} \quad (n, l = 0, 1, 2, \dots)$$

$$E_{\text{rot}} = \frac{I \omega^2}{2} = \frac{L^2}{2I}$$

contribuição vibracional: $Z_{\text{vib}} = \frac{1}{1 - e^{-T_{\text{vib}}/T}} = (1 - e^{-T_{\text{vib}}/T})^{-1}$

$10^{12} - 10^{14} \text{ Hz}$ (ω - frequência) \rightarrow

$T_{\text{vib}} = \frac{h\omega}{k}$	
2200K	O_2
3000K	CO
4100K	HCl
6100K	H_2

$$\begin{cases} Z_{\text{vib}} = Z_{\text{vib}}^N = (1 - e^{-T_{\text{vib}}/T})^{-N} \\ \ln Z_{\text{vib}} = -N \ln(1 - e^{-T_{\text{vib}}/T}) \quad \beta = \frac{1}{kT} \end{cases}$$

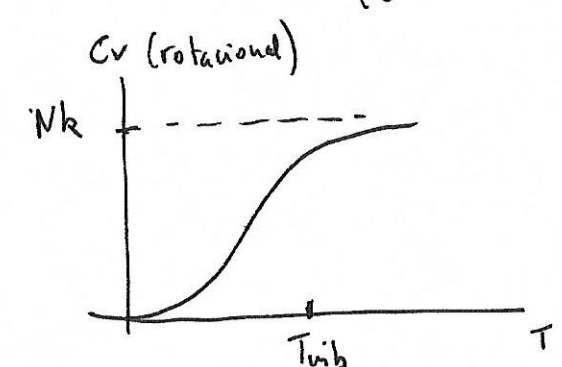
$$U_{\text{vib}} = \frac{\partial \ln Z_{\text{vib}}}{\partial \beta} = Nk T_{\text{vib}} \frac{e^{-T_{\text{vib}}/T}}{1 - e^{-T_{\text{vib}}/T}} = \frac{Nk T_{\text{vib}}}{e^{T_{\text{vib}}/T} - 1}$$

$\begin{cases} Nk T_{\text{vib}} e^{-T_{\text{vib}}/T} & (T \ll T_{\text{vib}}) \\ NkT & (T \gg T_{\text{vib}}) \text{ (ambiente)} \end{cases}$

$$C_V^{\text{vib}} = Nk \frac{(T_{\text{vib}}/T)^2 e^{-T_{\text{vib}}/T}}{(e^{T_{\text{vib}}/T} - 1)^2}$$

$\begin{cases} Nk \left(\frac{T_{\text{vib}}}{T}\right)^2 e^{-T_{\text{vib}}/T} & (T \ll T_{\text{vib}}) \\ Nk & (T \gg T_{\text{vib}}) \end{cases}$

clássico: $(E_{\text{vib}} = \frac{1}{2} \mu \dot{x}^2 + \frac{1}{2} m \omega^2 x^2)$
 \rightarrow (2 termos quadráticos)



- Abaixo de 1000K a contribuição vibracional é desprezível em relação à translacional.
- Apenas no interior das estrelas a contribuição vibracional é considerada.

contribuição rotacional (átomos distintos - HCl, CO) $\Rightarrow \epsilon_{rot} = l(l+1) \frac{\hbar^2}{2I}$ ($l=0, 1, 2, \dots$)

$$Z_{rot} = \sum_{l=0}^{\infty} (2l+1) e^{-l(l+1) T_{rot}/T}$$

↳ fator de degenerescência

$T_{rot} = \frac{\hbar^2}{2kI} = \frac{1}{\text{mm}^2}$	
85,4	H ₂
15,2	HCl
2,78	CO
2,07	O ₂

altas temperatura ($T \gg T_{rot}$) ~ temperatura ambiente

$$Z_{rot} = \int_0^{\infty} dl (2l+1) e^{-l(l+1) T_{rot}/T}$$

$$= \frac{I}{T_{rot}} \int_0^{\infty} e^{-x} dx = \frac{I}{T_{rot}}$$

$$\left\{ \begin{array}{l} x(l) = (2l+1) \frac{T_{rot}}{T} \\ dl = \frac{dx}{2} \frac{T}{T_{rot}} \end{array} \right.$$

$$Z_{rot} = Z_{rot}^N = \left(\frac{I}{T_{rot}} \right)^N \Rightarrow \ln Z_{rot} = N \ln \frac{I}{T_{rot}} \quad (\ln T \sim - \ln \beta + \text{cte}) \quad \beta = 1/kT$$

$$\left\{ \begin{array}{l} U_{rot} = NkT \\ C_v^{rot} = Nk \end{array} \right. \quad (T \gg T_{rot})$$

clássico ($\epsilon_{rot} = \frac{I_x \omega_x^2}{2} + \frac{I_y \omega_y^2}{2}$) (2 graus quadráticos)

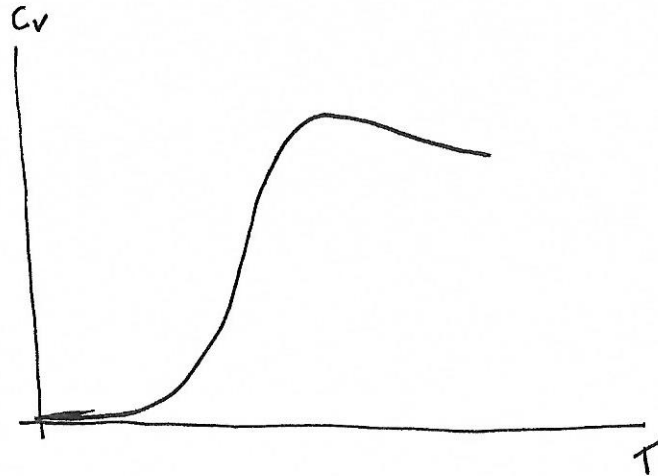
gases diatômicos
em altas temperaturas
(ambiente)

$$\left\{ \begin{array}{l} F = -kT \ln (Z_{trans} \times Z_{rot}) = -kT (\ln Z_{trans} + \ln Z_{rot}) = -NkT \left(\frac{5}{2} \ln T + \ln \frac{V}{N} + \text{cte} \right) \\ P = \frac{NkT}{V} \quad U = \frac{5}{2} NkT \quad C_v = \frac{5}{2} Nk \\ S = Nk \left(\frac{5}{2} \ln T + \ln \frac{V}{N} + \text{cte} \right) \end{array} \right.$$

baixas temperaturas ($T \ll T_{rot}$)

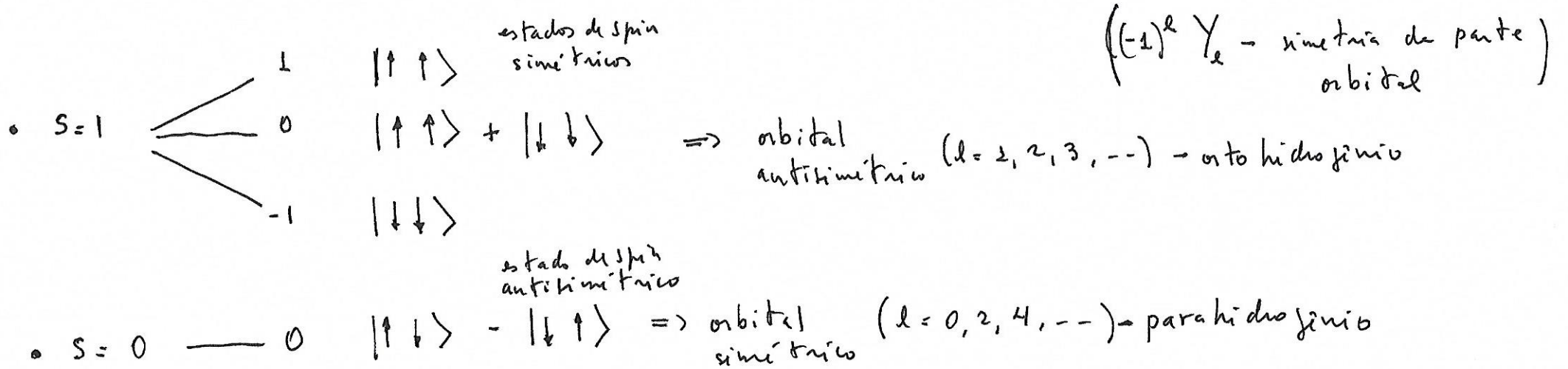
$$\left\{ \begin{array}{l} Z_{rot} = 1 + 3e^{-2T_{rot}/T} + \dots \quad (\text{apenas pequenos valores de } l \text{ contribuem}) \\ \ln Z_{rot} = 3e^{-2T_{rot}/T} \Rightarrow \ln Z_{rot}^N = \ln Z_{rot}^N = 3Ne^{-2T_{rot}/T} \end{array} \right.$$

$$\left\{ \begin{array}{l} U_{rot} = 6NkT_{rot}e^{-2T_{rot}/T} \\ C_v^{rot} = 12Nk \left(\frac{T_{rot}}{T} \right)^2 e^{-2T_{rot}/T} \end{array} \right. \quad (T \ll T_{rot})$$



moléculas diatômicas

contribuição rotacional (núcleos iguais = H_2, D_2) \Rightarrow férmions - função de onda total antissimétrica



$$C_v = NkT \left[\underbrace{\frac{d}{dT} \frac{\partial^2}{\partial T^2} \left(T \frac{\partial \ln Z_{rot}}{\partial T} \right)}_{\frac{3}{4} \text{ experimental}} + \underbrace{\frac{\partial^2}{\partial T^2} \left(T \frac{\partial \ln Z_{rot}^{para}}{\partial T} \right)}_{\frac{1}{4}} \right]$$

$$F = -NkT \ln Z$$

$$S = -\frac{\partial F}{\partial T} = Nk \frac{\partial}{\partial T} (T \ln Z)$$

$$C_v = T \frac{\partial S}{\partial T} = NkT \frac{\partial^2}{\partial T^2} (T \ln Z)$$

